

ИЗВЕСТИЯ  
ТОМСКОГО ОРДЕНА ТРУДОВОГО КРАСНОГО ЗНАМЕНИ ПОЛИТЕХНИЧЕСКОГО  
ИНСТИТУТА им. С.М.КИРОВА

№ 251

1970

О влиянии распределения примеси  $Cu^{++}$  на  
термическую устойчивость  $AgN_3$  и  $Pb(N_3)_2$

Ю.А.Захаров, Г.Т.Шечков, Г.Г.Савельев, А.Л.Бсчаров

(Представлена научным семинаром кафедры радиационной химии)

В работе [1] нами установлено ингибирование термического распада  $Pb(N_3)_2$  добавкой  $Cu^{++}$  введенной соосаждением. Эта добавка увеличивает скорость термического разложения  $AgN_3$ , причем изменяет кинетику распада  $AgN_3$ . Для  $Pb(N_3)_2 + Cu^{++}$  наблюдалось увеличение I-го максимума скорости. Для объяснения этих эффектов нами было предположено, что добавка  $Cu^{++}$  наряду с входением в решетку, частично адсорбируется на поверхности  $AgN_3$  и  $Pb(N_3)_2$ , а соответствующие изменения термической устойчивости систем  $Pb(N_3)_2 - Cu^{++}$  и  $AgN_3 - Cu^{++}$  являются результатом воздействия продуктов распада нестойкого азода меди [2]. В данной работе для изучения состояния добавки  $Cu^{++}$  в смешанных кристаллах и причин изменения ее термической устойчивости  $Pb(N_3)_2$  и  $AgN_3$  исследовались монокристаллы чистых  $AgN_3$  и  $Pb(N_3)_2$ , а также содержащих добавку  $Cu^{++}$ . При этом предполагалось, что в силу термодинамического равновесия между раствором и твердой фазой при получении монокристаллов в режиме медленной кристаллизации, а также вследствие многократной перекристаллизации кристаллов [3], добавка  $Cu^{++}$  должна быть равномерно распределена по объему кристаллов.

МЕТОДИКА ЭКСПЕРИМЕНТОВ

Препараты. Поликристаллические образцы чистых и допированных ионами  $Cu^{++}$  азидов серебра и свинца с размером час-

тиц от 0,01 до 0,03 им получали с осаждением из водных растворов по методике, описанной в работе [4].

Монокристаллы чистого  $Pb(N_3)_2$  и содержащего 0,1 моль%  $Cu^{++}$  выращивали по методике Апкина [5].

Кристаллы чистого азода свинца обычно имели в сечении форму правильного шестиугольника и достигали в длину 4 + 8 мм. Отдельные кристаллы достигали длины 15мм и имели вес до 15 мг. Добавка меди (II) уменьшает размеры кристаллов  $Pb(N_3)_2$  в долтора -два раза. Окраска монокристаллов  $Pb(N_3)_2 + 0,1\% Cu^{++}$  равномерная, светлорозовая.

Монокристаллы чистого  $AgN_3$  и содержащего добавки ионов двухвалентной меди получали при перекристаллизации порошкообразных препаратов  $AgN_3 + Cu^{++}$  в 17%-ном растворе  $NH_4OH$  при температуре 16-21°C. Белые непрозрачные кристаллы чистого азода серебра имели форму сросшихся иголок, достигающих в отдельных случаях в длину 10 мм.

Монокристаллы  $AgN_3 + Cu^{++}$  были неравномерно окрашены, размеры их не превышали 15 мм в длину.

Термическое разложение проводили на дифференциальной установке [6] при давлении  $10^{-2} + 10^{-5}$  торр, а также на весовой установке с чувствительностью спирали  $10^{-5}$  г/деление диаграммной ленты, при давлении  $5 \cdot 10^{-2}$  торр.

Для экспериментов использовались 10 мг навески препаратов, помещаемых в чашечки из тонкой (0,005 мм) алюминиевой фольги. Опыты на дифференциальной установке, за исключением специально оговоренных случаев, проводили при работающей ловушке с жидким азотом.

Спектры ЭПР азидов серебра и свинца, содержащих парамагнитные ионы меди, снимали на спектрометре ЭПР-2 [7].

## РЕЗУЛЬТАТЫ И ОБСУЖДЕНИЕ

Добавка  $Cu^{++}$  увеличивает скорость термического распада монокристаллов как азода свинца, так и азода сереб-

ра. При этом изменяется кинетика разложения монокристаллов  $Pb(N_3)_2 + Cu^{++}$ , распад их протекает в отличие от поликристаллических образцов без индукционного периода (рис. I, кривые 2 и 3). В монокристаллах кроме того нет четкого максимума скорости после 5 минут разложения, что, по-видимому, обусловлено существенным уменьшением доли адсорбированной на поверхности  $Pb(N_3)_2$  добавки  $Cu^{++}$  и преимущественно объемным распределением примеси в решетке  $Pb(N_3)_2$ . Скорость термического разложения монокристаллов  $Pb(N_3)_2$  при  $245^{\circ}C$  значительно ниже скорости термолиза порошков (рис. I, кривые I, 5), что вызвано, видимо, различием дисперсности и степени совершенства кристаллов.

Добавка ионов  $Cu^{++}$  катализирует термическое разложение как поликристаллов  $AgN_3$ , в отличие от монокристаллов чистого  $AgN_3$ , разложение которых протекает с небольшим, но заметным индукционным периодом, обусловленным скорее всего разогревом навески до температуры опыта, распад поликристаллов  $AgN_3 + Cu^{++}$  и чистого  $AgN_3$ , а также монокристаллов  $AgN_3 + Cu^{++}$  проходит без индукционного периода с максимальной скоростью. Эти явления вызваны в случае  $AgN_3$  искл. особенностями его распада, а для образцов  $AgN_3 + Cu^{++}$ , по-видимому, низкотермическим разложением адсорбированной на поверхности  $AgN_3$  добавки.

В поликристаллических образцах  $AgN_3 + Cu^{++}$  после 40 минут изотермического разложения при  $245^{\circ}C$  скорость разложения резко уменьшается, а доля разложившегося вещества составляет >80%. Эти препараты  $AgN_3 + Cu^{++}$ , имеющие до разложения вид розовых крупинок, после термолиза представляют единую спекшуюся губчатую серо-чёрную массу, что скорее всего указывает на плавление образцов при разложении.

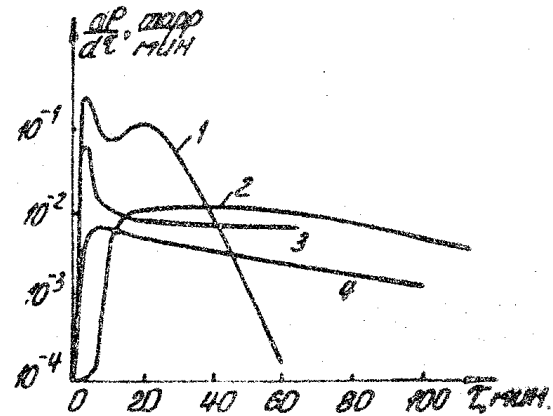
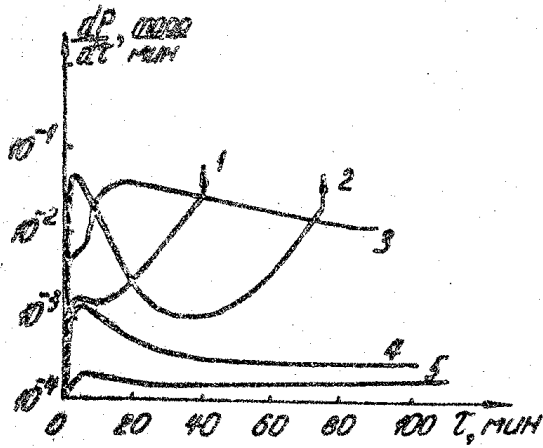


Рис.1. Скорость разложения поликристаллического  $Pb(N_3)_2$  чист - 1,  $Pb(N_3)_2 + 0,7\text{моль \% } Cu^{++}$  - 2  
при  $240^{\circ}\text{C}$  и монокристаллов  $Pb(N_3)_2 + 0,1\text{моль \% } Cu^{++}$  - 3  
 $Pb(N_3)_2$  чист - 4 при  $255^{\circ}\text{C}$ ,  $Pb(N_3)_2$  чист - 5 при  
 $240^{\circ}\text{C}$

Рис.2. Скорость термического разложения поликристаллов в  $AgN_3$  чист - 4,  $AgN_3 + 0,1\text{моль \% } Cu^{++}$  - 1  
при  $240^{\circ}\text{C}$  и монокристаллов  $AgN_3$  чист. - 2,  
 $AgN_3 + 0,1\text{моль \% } Cu^{++}$  (3) при  $245^{\circ}\text{C}$

Появление нового максимума скорости в поликристаллических образцах  $AgN_3 + Cu^{++}$  и увеличением его в поликристаллических образцах  $Pb(N_3)_2 + Cu^{++}$  по сравнению с чистыми  $AgN_3$  и  $Pb(N_3)_2$  является, по нашему мнению, результатом либо адсорбции, либо приповерхностного распределения части примеси  $Cu^{++}$  в кристаллах и, как следствие этого, наблюдается выгорание её в ходе разогрева образца до заданной температуры.

Отсутствие резкого ускорения (1-го максимума скорости) разложения в монокристаллах  $Pb(N_3)_2 + Cu^{++}$  говорит, что встраивается в узлы решетки и равномерно распределена по

объему кристаллов, что было показано Рябых [8]. Об этом же свидетельствует равномерная окраска монокристаллов  $Pb(N_3)_2$ , содержащих добавку ионов меди. Неравномерное, преимущественно поверхностное распределение  $Cu^{++}$  в поликристаллических образцах  $AgN_3$  и  $Pb(N_3)_2$  показано нами рядом приемов.

1. Отсутствие в ЭПР спектрах СТС ( сверхтонкой структуры ) указывает, по мнению Казанского и др. [9], на ди-поль-дипольное взаимодействие парамагнитных ионов, что возможно при адсорбционном либо поверхностном распределении примеси. На спектрах ЭПР поликристаллических образцов  $AgN_3 - Cu^{++}$  и  $Pb(N_3)_2 - Cu^{++}$  [1] сверхтонкая структура не была разрешена.

2. О поверхностном распределении примеси  $Cu^{++}$  свидетельствует также неизменность температуры фазового перехода ( $180^{\circ}C$ ) в  $AgN_3$  и  $AgN_3 - Cu^{++}$  по данным ДТА.

Об изменении температуры фазового перехода ряда соединений при введении примесей в решетку сообщает Берт [10].

3. В монокристаллах  $AgN_3 + 0,04$  моль %  $Cu^{++}$  распределение добавки также неравномерное, преимущественно поверхностное. В таблице I приводится распределение ионов меди в монокристаллах  $AgN_3 + Cu^{++}$ , которые последовательно растворялись в четыре приема. Общий вес монокристаллов 50 мг

Таблица I

Распределение добавки  $Cu^{++}$  по объему  
монокристаллов  $AgN_3$ .

Вес растворенных слоев мгр.	Содержание $Cu^{++}$ в растворе %
9	$2,9 \cdot 10^{-2}$
8	$8,2 \cdot 10^{-3}$
10	$2,1 \cdot 10^{-3}$
12	$1 \cdot 10^{-4}$

Выгорание добавки при термодизе систем  $PB(N_3)_2$  -  $Cu^{++}$  и  $AgN_3$  -  $Cu^{++}$  доказывается отсутствием сигнала ЭПР после 10-минутного прогрева образцов при температурах 150 и  $240^{\circ}C$  и обесцвечиванием препаратов при таком прогреве. Степени превращения образцов при этом приводятся в таблице 2.

Кроме того, в ходе равномерного нагрева азота азота, содержащего ионы меди, на дифференциальной установке, в интервале температур  $120-150^{\circ}C$  наблюдается максимум скорости газовыделения, возрастающий при увеличении концентрации добавки (рис.3). Такого максимума скорости не наблюдалось при прогреве монокристаллов  $PB(N_3)_2$  + 0,1 моль %  $Cu^{++}$  (рис. 3, кривая 4), при этом монокристаллы не обесцвечиваются в течение длительного времени.

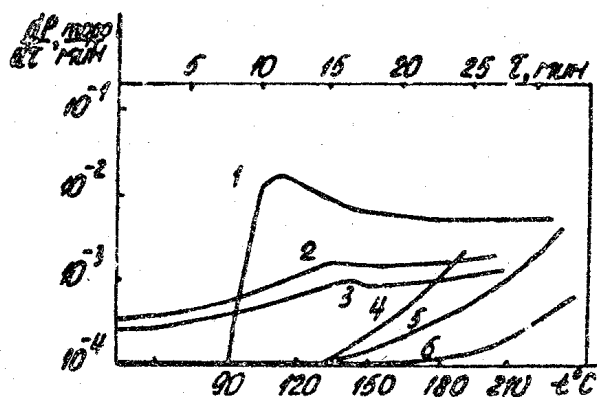


Рис.3. Изменения скорости термического разложения  $PB(N_3)_2$  при нагреве образцов (4 град/мин)  
1,2,3 -  $PB(N_3)_2$  + 0,7, 0,3, 0,1 моль %  $Cu$   
(поликристаллы) соответственно.  
4 -  $PB(N_3)_2$  + 0,1 моль %  $Cu$  (монокристаллы)  
5,6 -  $PB(N_3)_2$  чист (поли- и монокристаллы соответственно)

Нами сопоставлены концентрации добавки  $Cu^{++}$  (по  $N_3^-$ ), введенной при соосаждении в  $PB(N_3)_2$  (поликристаллы), и потеря веса этих образцов, разложенных в течение 10 мин., что соответствует первому максимуму, при  $150$  и  $240^0C$  при давлении  $10^{-4}$  торр (табл.2)

Таблица 2  
Сравнительная оценка потери веса 10 мг.  
образцов при  $150$  и  $240^0C$  и веса  $N_3^-$ ,  
соответствующего концентрации  $Cu^{++}$  в  $PB(N_3)_2$

Состав	Вес $N_3^-$ соответствующий % добавки	Потеря веса при $150^0C$		Потеря веса при $240^0C$	
		$\alpha$ (%)	$\alpha$ (мг)	$\alpha$ (%)	$\alpha$ (мг)
$PB(N_3)_2$	-	0,01	0,0003	2	0,056
$PB(N_3)_2 + 0,1\% Cu^{++}$	0,0028	-	-	4	0,11
$PB(N_3)_2 + 0,3\% Cu^{++}$	0,0085	-	-	6,5	0,193
$PB(N_3)_2 + 0,7\% Cu^{++}$	0,0198	1	0,028	10	0,35
$PB(N_3)_2 + 0,7\% Cu^{++}$		0,5	0,014		
прогрев при $150^0C$ 20мин	0,0198	8	0,23	25	0,425

Оказалось, что потеря веса препарата  $PB(N_3)_2 + 0,7$  моль%  $Cu^{++}$  при  $150^0C$  соответствует содержанию примеси  $Cu^{++}$ . Потеря веса в образцах, разложенных при  $240^0C$ , значительно превышает потерю веса соответствующую концентрации добавки  $Cu^{++}$  в  $PB(N_3)_2$ .

В первом случае, очевидно, происходит выгорание добавки, так как разложение  $PB(N_3)_2$  начинается при температуре  $> 200^0C$ , а во втором происходит также и разложение  $PB(N_3)_2$ , катализируемое добавкой  $Cu^{++}$ .

Поскольку факт выгорания добавки  $Cu^{++}$  при термическом разложении  $AgN_3 + Cu^{++}$  и  $PB(N_3)_2 + Cu^{++}$ , за исключением моноокри-

таллов  $PB(N_3)_2 + Cu^{++}$ , установлен, то для выяснения причин наблюдаемых изменений скорости разложения после I-го максимума скорости, нами была исследована термическая устойчивость  $PB(N_3)_2$  с возможными продуктами термо-распада азода меди в наших условиях -  $Cu$ ,  $CuO$ ,  $Cu_2O$ . В работе [II] показано наличие  $H_2O$  в  $PB(N_3)_2$  даже после 18 минут изотермического разложения при  $240^0C$  в вакууме  $\sim 10^{-7}$  торр, поэтому образование окислов меди, при разложении  $Cu(N_3)_2$ , выпавшей в отдельную фазу (адсорбированной на поверхности), возможно. Все используемые окислы квалификации х.ч. были просеяны на сите № 23 и тщательно перемешаны с азидом свинца в отношении I : 10 по весу. Избыток окислов в пересчете на  $Cu^{++}$  ион по сравнению с количеством  $Cu^{++}$ , вводимой соосаждением, взят с целью компенсации малой поверхности контакта в смеси окисел-азид по сравнению с гомофазной примесью. При термическом разложении смесей на весовой установке в вакууме  $8 \cdot 10^{-2}$  торр и температуре  $240^0C$  эффективность добавок одинакова и все они являются ингибиторами термического разложения  $PB(N_3)_2$  (рис. 4).

При разложении этих же смесей при более низком давлении  $10^{-5}$  торр и вымораживании продуктов распада при  $-196^0C$  на дифференциальной установке добавка  $CuO$  является катализатором, тогда как  $Cu$  и  $Cu_2O$  по-прежнему являются ингибиторами термического распада  $PB(N_3)_2$  (рис. 5). Подобное изменение характера влияния некоторых добавок окислов на термическую устойчивость  $AgN_3$  наблюдалось и в работе [12]. Необычное поведение смеси  $PB(N_3)_2 - CuO$  объяснимо при учете развивающихся нами представлений о взаимодействии адсорбированных газов и продуктов распада с неразложившимся азидом свинца [II]. Подтверждением этому является увеличение длительности индукционного периода в ходе разложения смеси  $PB(N_3)_2$  при отсутствии довушки с жидким азотом (рис. 5).

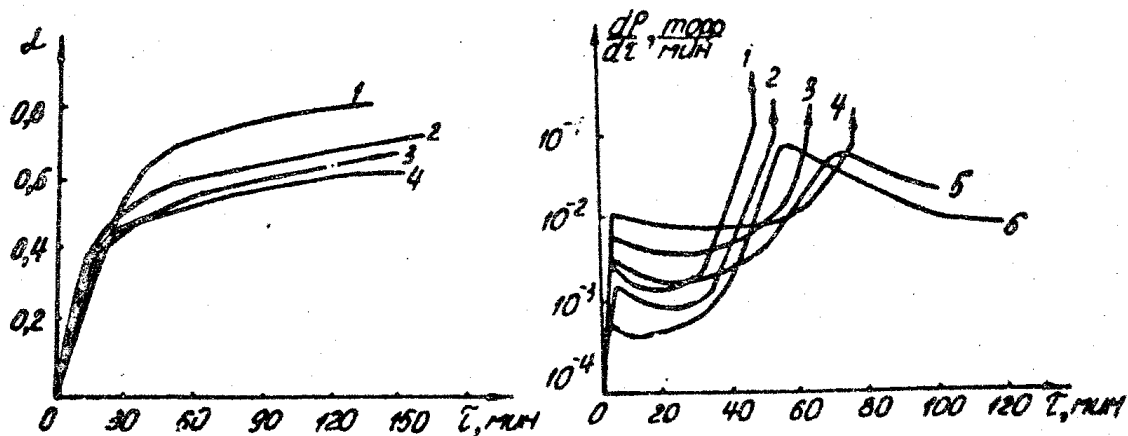


Рис. 4. Разложение  $Pb(N_3)_2$  чист. при  $245^\circ$  -  
(1) и содержащего 10 вес.%  $Cu$ ,  
 $CuO$ ,  $Cu_2O$ , соответственно  
по 2-4.

Рис.5. Скорость термического разложения  
 $Pb(N_3)_2$  при  $245^\circ$   
1,6,5 -  $Pb(N_3)_2$  + 10 вес.%  $CuO$ ,  
 $Cu$ ,  $Cu_2O$ , соответственно.  
2 -  $Pb(N_3)_2$  чистый  
4,3 -  $Pb(N_3)_2$  + 10 вес.%  $Cu_2O$  и  $Pb(N_3)_2$  чист  
соответственно, опыты без ловушки с  
жидким  $N_2$ .

Термическая устойчивость гетерофазных смесей  $AgN_3$  -  $CuO$ ,  $AgN_3$  -  $Cu_2O$  изучалась в работе [15], где установлено, что окислы  $CuO$  и  $Cu_2O$  являются катализаторами разложения  $AgN_3$ . Таким образом, наблюдается симбатность влияния гомофазной примеси  $Cu^{++}$  и гетерофазных добавок  $Cu$ ,  $CuO$ ,  $Cu_2O$ , которые могут быть продуктами распада  $Cu(N_3)_2$ , на термическую устойчивость порошкообразных  $AgN_3$  и  $Pb(N_3)_2$ . Эти резуль-

таты подтверждают один из выводов работы [4] о том, что термическая устойчивость смешанных кристаллов, где термически нестойкий микрокомпонент адсорбирован или концентрируется в приповерхностных слоях макрокомпонента, определяется процессами, происходящими после выгорания добавки на границе раздела: субстрат-продукты термического распада микрокомпонента.

Активное влияние гомофазной примеси  $Cu^{+2}$  на термическую устойчивость поликристаллического  $Pb(N_3)_2$  и его монокристаллов указывает на необходимость учета при изучении термической устойчивости смешанных кристаллов распределения примесей, которые зависят от условий синтеза [3].

#### ЛИТЕРАТУРА

1. Г.Т.Шечков, Г.Г.Савельев, Ю.А.Захаров, Изв.ТПИ, 157, 50, 1970.
2. K. Singh, Trans. Farad. Soc., 55, I, 124, 1959.
3. В.Г.Хлопин. Избранные труды, т.1, изд. АН СССР, 1957.
4. Ю.А.Захаров, Г.Г.Савельев, В.В.Болдырев, Л.А.Вотинова, Кинетика и катализ, 5, 807, 1964.
5. А.Я.Аппин, Сб.статьй по теории В.В., Оборонгиз, М., 1940, стр.106.
6. Г.Г.Савельев, В.В.Бордачев, Изв.ТПИ, 157, 75 , 1970.
7. Л.А.Воеводский, В.В.Блюменфельд, Л.Г.Семенов, Применение х электронного парамагнитного резонанса в химии, Изв.СО АН СССР, Новосибирск, 1962, стр.35.
8. В.П.Личугина, С.М.Рябых, Изв.ТПИ, 199, 66, 1969.
9. В.Б.Казанский, З.И.Ежкова, А.Г.Любарский, В.В.Воеводский, И.М.Иоффе, Кинетика и катализ, 2, 862, 1961.
10. Л.Г.Берг, Введение в термографию, Изд."Наука", М., 1969.
11. Г.Т.Шечков, Ю.А.Захаров, В.А.Каплин, Г.Г.Савельев, Е.Н.Свободин, Кинетика и катализ, 1970 ( в печати )
12. Ю.А.Захаров, Э.С.Курочкин, Г.Г.Савельев, Ю.Н.Рубов, Кинетика и Катализ, 7, 3, 425, 1966.
13. Э.С.Курочкин, Кандидатская диссертация, Томск, 1969.
14. Г.Т.Шечков, Настоящий сборник,